

FIG. 5

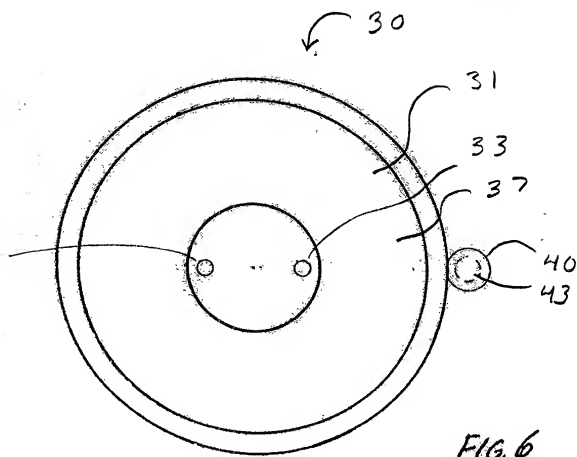
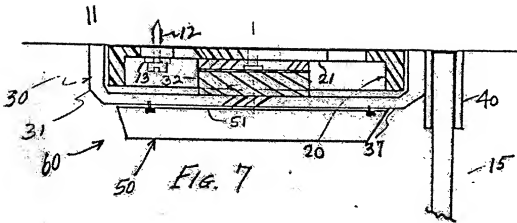


FIG. 6



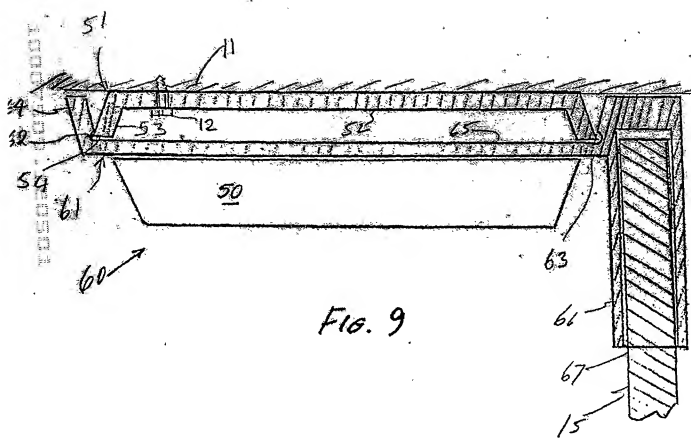
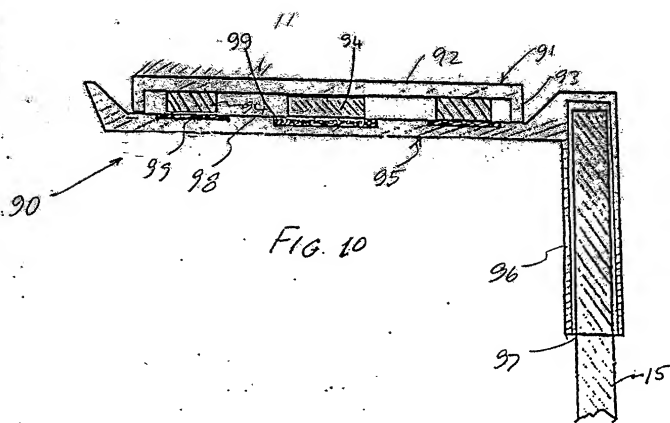
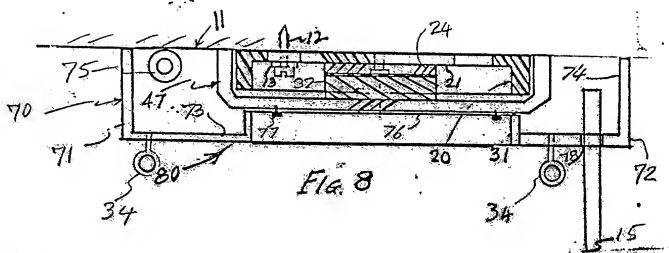
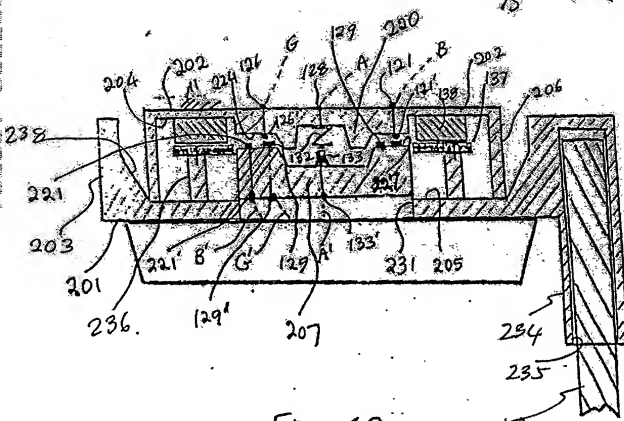
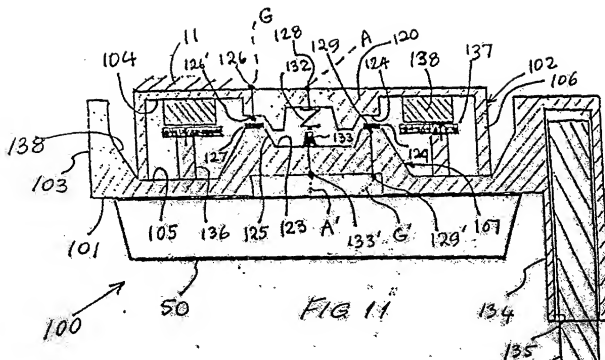
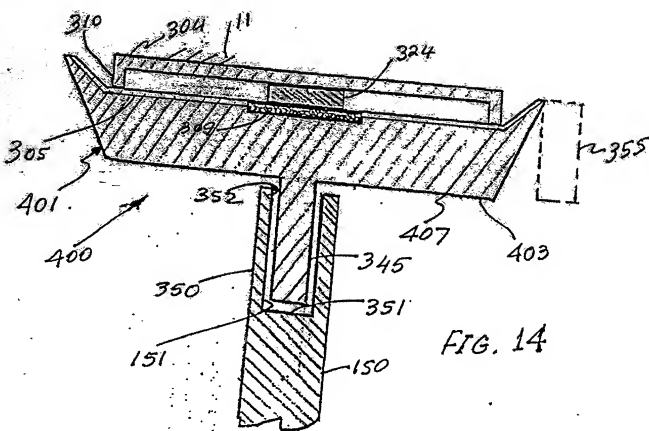
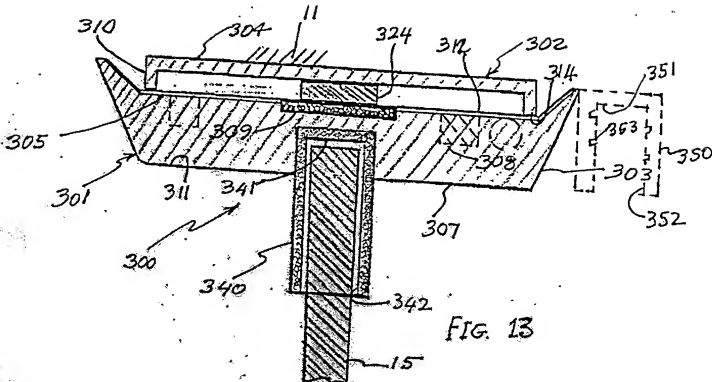


Fig. 9







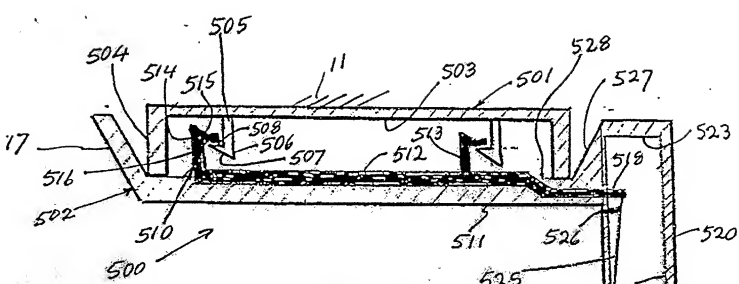


FIG. 15

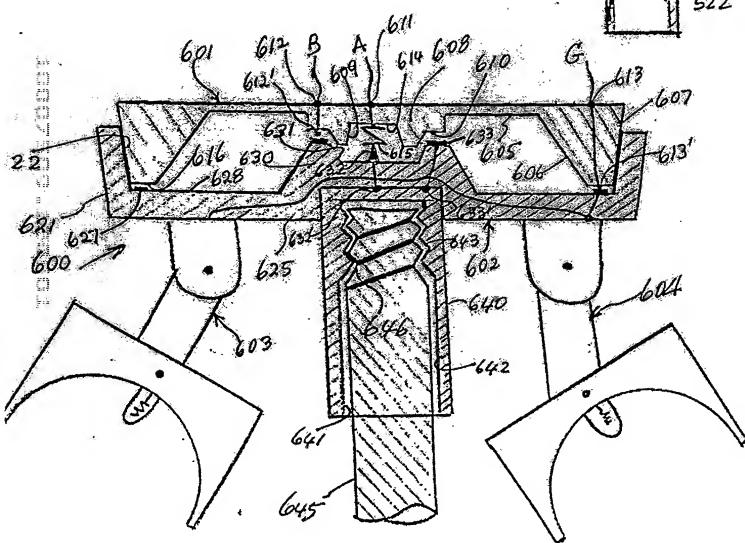


FIG. 16

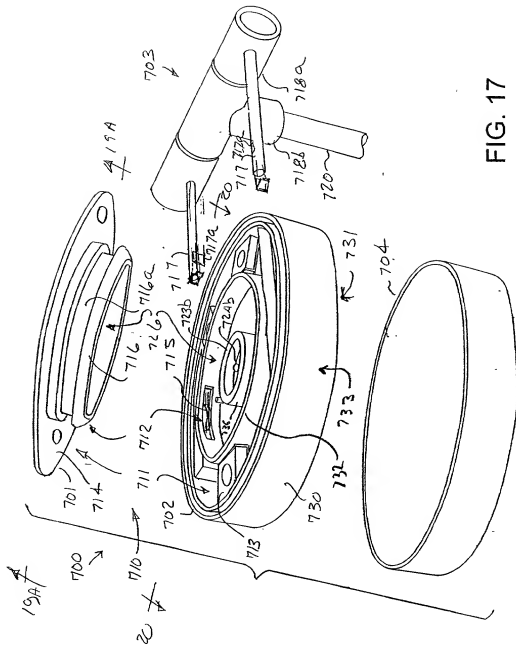


FIG. 17

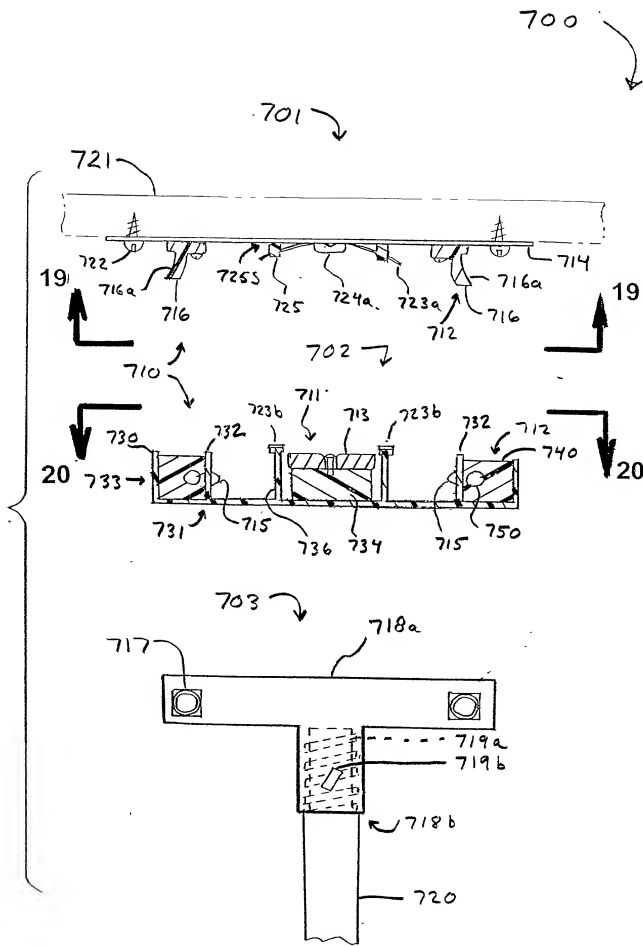


FIG. 18

701 ↘

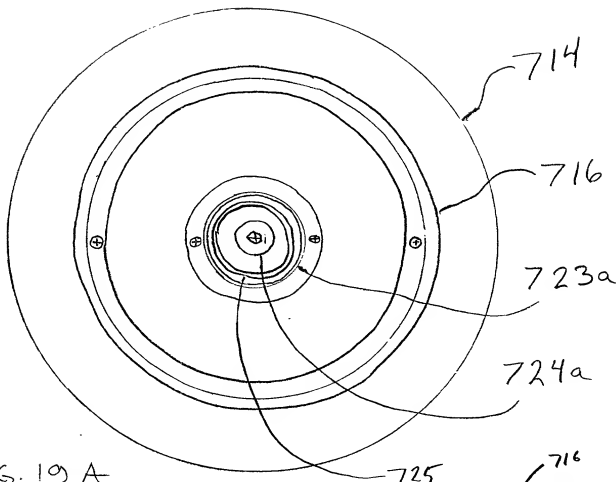


FIG. 19 A

FIG. 19 B

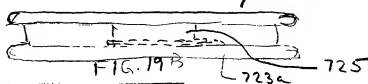
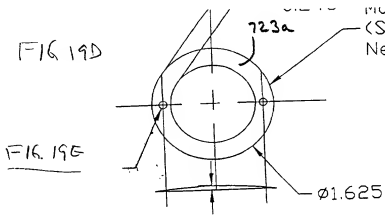


FIG. 19 D



Mu  
(S)  
Nei  
725  
723a  
725s  
723a

725s  
723a

725

FIG. 19 C

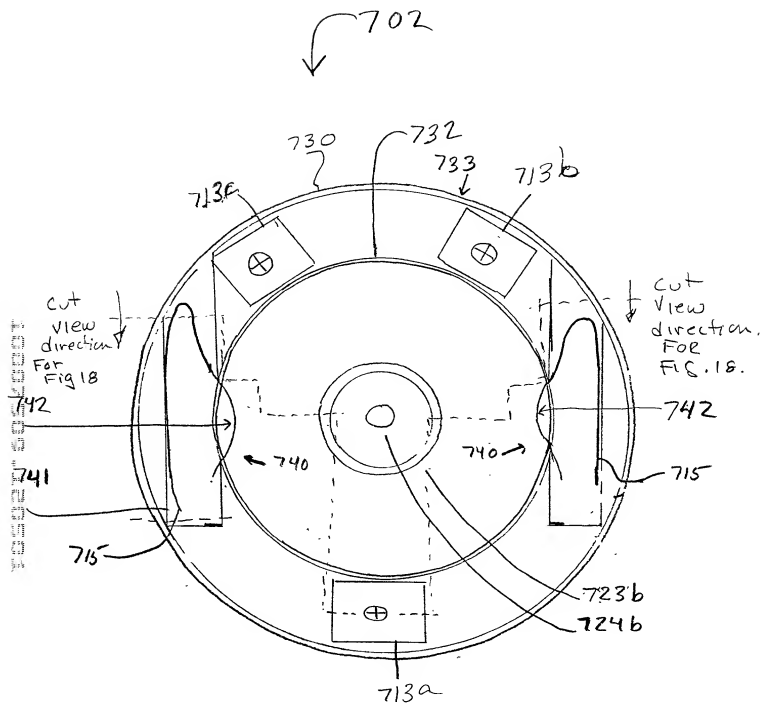
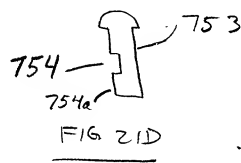
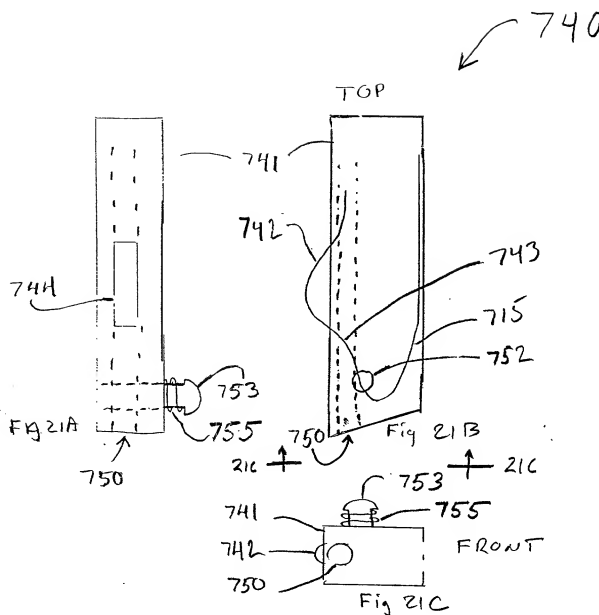


Fig.  
20

19880209-200500



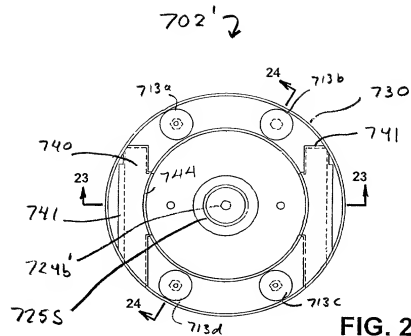


FIG. 22

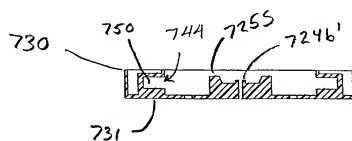


FIG. 23

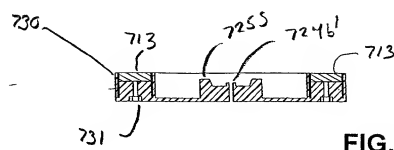


FIG. 24

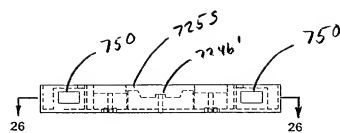


FIG. 25

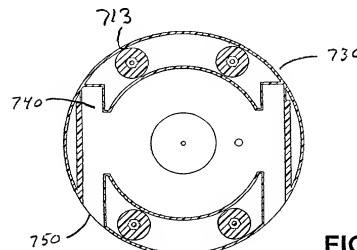


FIG. 26

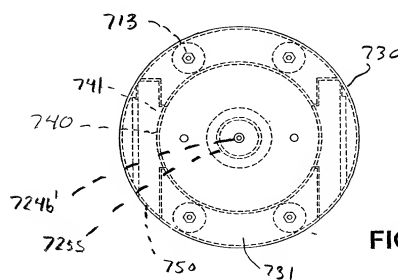
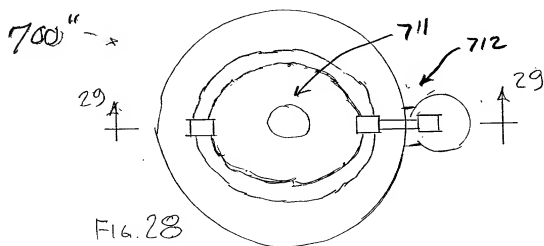
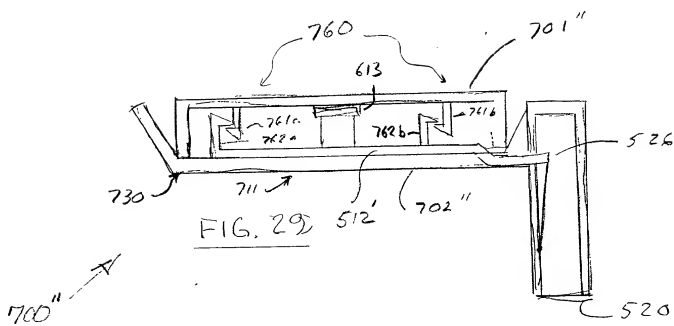
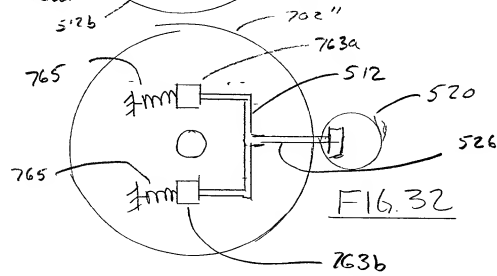
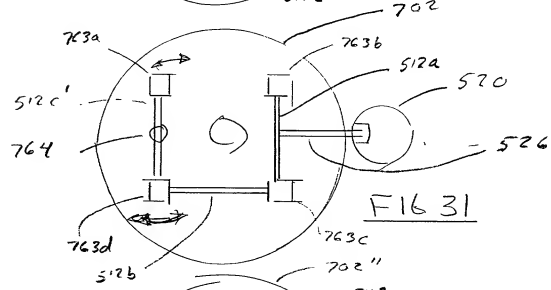
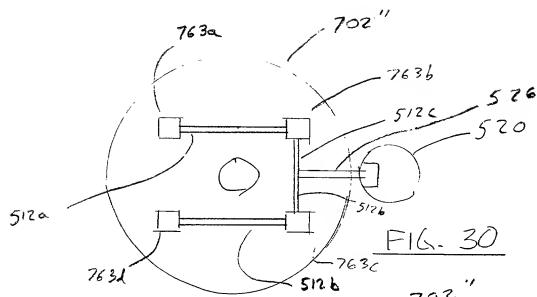


FIG. 27





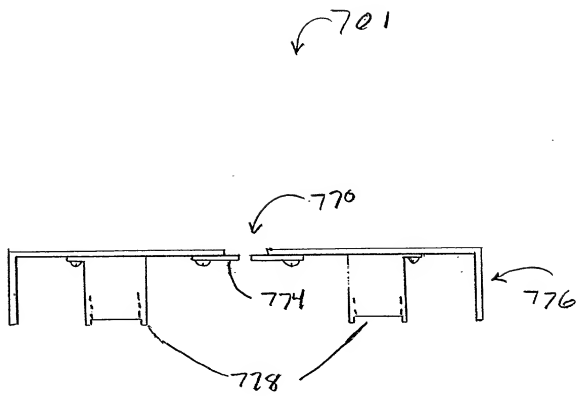


Fig. 33

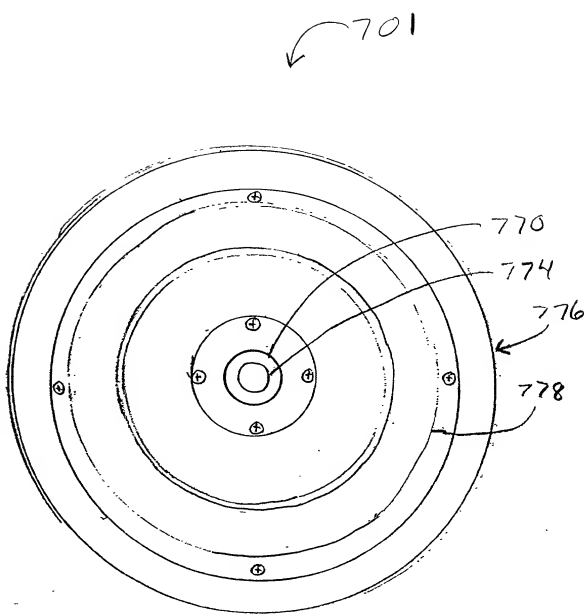


Fig. 34

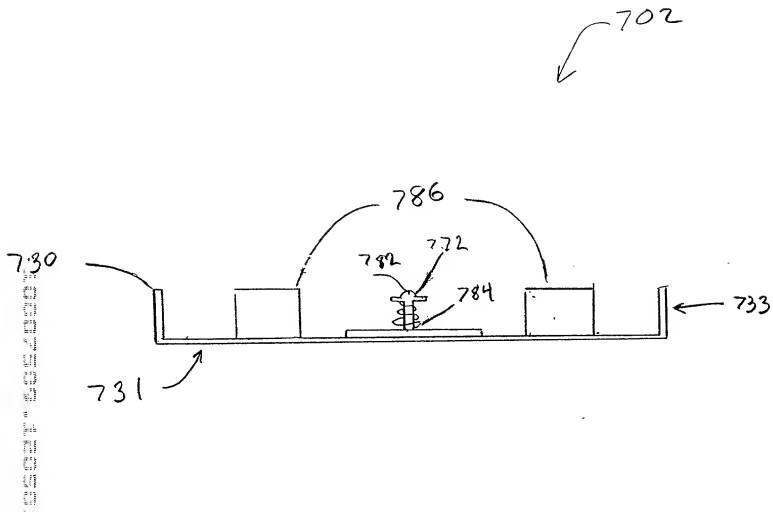


Fig. 35

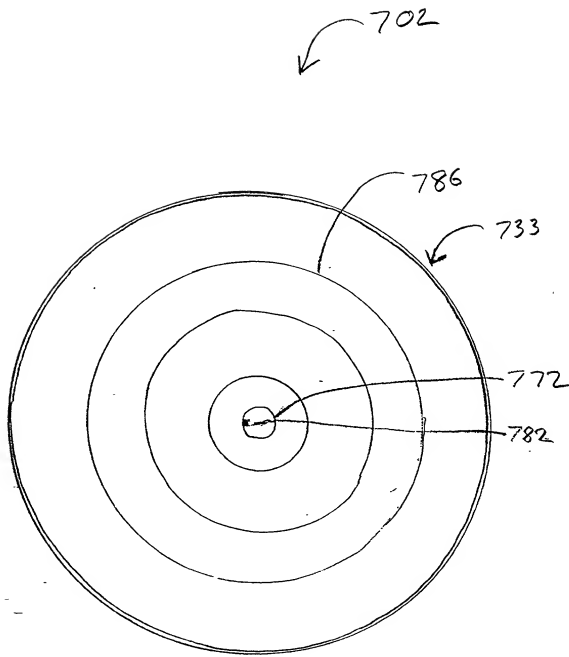


Fig. 36